

مدل‌سازی ساختار پلی‌وینیل استات با استفاده از ^1H NMR

Modeling of the Structure of Polyvinyl Acetate by Using ^1H NMR

محمدعلی سمسارزاده^{*}، حبید گنجی

تهران، دانشگاه فریت مدرس، دانشکده فنی مهندسی، گروه پلیمر

دریافت: ۱۳۹۰/۰۷/۲۵ پذیرش: ۱۳۹۰/۰۸/۲۴

چکیده

مدل‌سازی ساختار پلی‌وینیل استات به نمایه از راه پلیمرشدن در محلول و پلی‌استات در محلول با استفاده از آغازگر سرعتی پلیمر کنید پورس نمایه است. از رویش روزانه مقاطعه همه پروتون و کرس (^1H NMR) و ^{13}C NMR برای پورس ساختار پلی‌وینیل استات و نوع هیدروکسیل شده آن استفاده شده است. واکنشهای حیالی این پلیمرشدن ترتیب توجه به ساختار پلیمر مخصوص و درصد تبدیل وزنی پلیمر است به زمان با استفاده از روش طرحی تحریبی محاسبه شده است. همچنین، با استفاده از این تابع درصد هیدروکسیل و متوسط خودکار و در مولکولی محاسبه و انگارش نمایه است. از مثل آماری برآوری نیز در تعیین نوع کوکیلر و درصد هیدروکسیل آن استفاده شده است. نتایج این پژوهش شان من دارد که از این طریق می‌توان اثر زمان، محلول و دسمای پلیمرشدن و ساختار کوکیلر پلیمر را با توجه به این معادلات مدل‌سازی کرد.

واژه‌های کلیدی: پلیمرشدن در محلول، درصد هیدروکسیل، درون مولکولی پلی‌وینیل استات

Key Words: solution polymerization, ^{13}C and ^1H NMR, structure modeling, hydrolysis percent, molecular weight of polyvinyl acetate

از کلش سطحی مناسب بکار رود و پایداری مناسب سرای محصول بدست آید.^(۱) اتحلال پذیری عاملی فیزیکی است که از نیروهای ناشی از برهم‌کش موونوم-حلال، پلیمر-پلیمر و پلیمر-حلال با درنظر گرفتن روابط ترمودینامیکی کنترل می‌گردد، در جایی که گزارویی یک عامل رئولوژیکی است که با ساختار مولکولی پلیمر کنترل می‌شود. ساختار مولکولی پلیمر نیز با توجه به سبیک و واکنش و از طریق کنترل سرعت پیشرفت، پایان یا واکنشهای انتقال در پلیمرشدن تغییر می‌کند.^(۲,۳) با افزایش درصد هیدروکسیل در پلی‌وینیل استات مماعت در برآور شکلی پیوندهای هیدروزئی بین زنجیرهای پلیمری یا پلیمر افزایش می‌باشد و در نهایت موجب افزایش اتحلال پذیری پلی‌وینیل استات

نموده

گرچه پژوهش‌های سپاری در مورد پلیمرشدن و پلی‌استات در حلانهای مختلف انجام گرفته است، ولی ساختار مولکولی این پلیمر پوزه در شرایط مختلف واکنش پلیمرشدن مخصوص نشده است.

تحلال پذیری و گزارویی دو عامل مهم فیزیکی است که در تهیه پلی‌وینیل استات مورد توجه قرار می‌گیرد. درصد سهیمی از پلی‌وینیل استات با توجه به اتحلال پذیری آن به صورت چه مصرف می‌شود؛ و از عمل گزارویی در ساخت پلیمرهای زلی استفاده می‌شود تا این پلیمر در فرایندهای مختلف ساخت مواد شیمیایی با استفاده

*تلن مکات، یامگن، MA.Semsar@ef.modares.ac.ir

جلد ششم پژوهشگر سال چهاردهم، شماره دوم، نیو ۱۳۸۰

کاتالیزور بنتوئیل پروکسید (۱۵٪ درصد وزنی) نسبت به مونومر، تحت تیپرورن در دمای‌های ۵۰°C و ۶۰°C با استفاده از مبرد و همزن مغناطیسی به مدت دو ساعت به روش نقطیر برگشته انجام گرفته و پلیمر پس از این مدت در آب مقطر رسوب داده شده و پس از صاف کردن در دمای ۵°C خشک و در دسیکاتور نگهداری شده است.

وزن مولکولی پلی‌وینیل استات با اندازه گیری گواروی دانی در استون در دمای ۳۰°C با استفاده از گواروی سنج استوالد انعام گرفته و وزن مولکولی پلیمر (M_w) با استفاده از معادله مارک هاوانگیک اسکورادا (MHS) محاسبه شده است:

$$[\eta] = k M_w^{0.7} \quad k = 1/76, 10^{-4} \quad (1)$$

درصد هیدرولیز پلی‌وینیل استات با استفاده از روش استاندارد ASTM D69-۷۳ B69 انجام گرفته است. در این روش ۰.۱۵ g از نمونه پلیمر خشک در ۲۰ mL می‌توان حل شده و با افزودن ۲۵ mL پتانسیم هیدرولیک N/۵، به مدت دو ساعت با نقطیر برگشته هیدرولیز انجام شده است. آزمایش مشابه تیز به صورت شاهد برای مقایسه انعام می‌شود، پس، هر دو سونه با کلریدریک اسید و با استفاده از معرف قلل فاصلین یا میل اورانیت تیز می‌گردد. درصد هیدرولیز پلی‌وینیل استات مطابق با معادله ۲ محاسبه می‌گردد [۵]:

$$\text{درصد هیدرولیز پلی‌وینیل استات هیدرولیز شده} = \frac{(B - V)(N \times A / ۵)S}{(B - V)} \quad (2)$$

که در این معادله B حجم کلریدریک اسید بکار رفته در شاهد (mL)، V حجم کلریدریک اسید بکار رفته در تیزاسیون پلیمر (mL)، N نرمالیته کلریدریک اسید که معادل یک است و S وزن نمونه (g) است.

دستگاهها

از دستگاه‌های رزونانس مغناطیسی هست ^1H NMR (۳۰ MHz) ساخت زیول و ^{13}C NMR و ^{17}O NMR (۵۰ MHz) ساخت بروکر برای سررسی

جدول ۱ - میزان تبدیل با زمان در دمای ۵°C در نهیه PVAc

(x)	درصد تبدیل (%)	آزمایش (a)	زمان واکنش (b)	حرم پلیمر نولیدی (c)	شماره
۱/۷۵	۱/۱۷	۴	۱		
۶/۲۲	۴/۱۸	۶	۲		
۱۷/۴۲	۱۷/۶۸	۸	۳		
۲۲/۲۱	۲۲/۹۲	۱۰	۴		

تجزیه

مواد

مونومر وینیل استات از ساخت پلیمر به صورت پلیمر شدن امولسیون یا در محلول مورد نوچه قرار می‌گیرد و با انتخاب سیستم و نوع حلال، وزن مولکولی و ساختار مولکولی پلیمر کنترل می‌شود. اثر عوامل مهم واکنش مانند غلظت کاتالیزور و مونومر، دما و زمان در پلیمر شدن در محلول وینیل استات قیلاً گزارش شده است [۷-۱۵]. در مورد پلیمر شدن امولسیون اشاره به این تکه لازم است که تعداد برهم کنشها بیشتر و متوترند و امولسیون کننده موجب می‌گردد تا این برهم کنشها زیادتر شوند. همچنین، برهم کنشها بین حلال و امولسیون کننده، مونومر و پلیمر موجب می‌شود تا امولسیون کننده به صورت ناچالصی در پلیمر بهای باقی بماند و درجه خلوص پلیمر را کمتر کند. به همین علت کاربردهای مختلف این پلیمر بوزیره در صنایع چسب‌سازی با مشکلات فراوانی روبرو می‌شود.

امروزه، پژوهشها در جهت حذف امولسیون کننده به کمک الکترولیتها بر مانند NaCl انجام می‌شود، ولی این پلیمر اکثراً با استفاده از پلیمر شدن در محلول تولید می‌گردد [۴]. بنابراین، با توجه به دو عامل اصلی اتحلاط یا تجزیه و گواروی و گسترش هر یک در پلیمر شدن در محلول، مدلسازی ساختاری پلیمر ضروری بنظر می‌رسد تا بتوان با انتخاب شرایط واکنش، کاربردهای مورد نظر را به آسانی مشخص ساخت. در این پژوهش، پلیمر شدن در محلول وینیل استات در میانوی با استفاده از کاتالیزور بنتوئیل پروکسید به صورت غیرخطی مدلسازی شده است و از پژوهشها پیش‌رفته به کمک روش رزونانس مغناطیسی H NMR استفاده شده است تا درصد هیدرولیز این پلیمر مشخص گردد. نتایج حاصل همراه با معادلات مناسب در محاسبات وزن مولکولی بکار گرفته شده است تا مدلسازی مولکولی پلی‌وینیل استات با توجه به نوع کریں به صورت دیفتوری بررسی گردد و ارتباط آن با دما و زمان واکنش پلیمر شدن مشخص شود.

مونومر وینیل استات از نوع آزمایشگاهی مرک با درجه خلوص ۹۹ درصد بدلون خالص مازی مصرف شده و میانوی از شرکت فلوكا با درجه خلوص ۹۹/۵ درصد مستقیماً به عنوان حلال بکار برده شده است. کاتالیزور بنتوئیل پروکسید با درجه خلوص ۹۹/۹ درصد است. پتانسیم هیدرولیک و کلریدریک اسید تیز از نوع آزمایشگاهی خالص از شرکت مرک است. پلیمر شدن پلی‌وینیل استات، با استفاده از ۶۷ مونومر (۶۷ درصد وزنی)، در ۳۲ میلی‌لتر (۲۲ درصد وزنی) با ۱۵٪ پلیمر

در صد تبدیل مونومر در زمان گوتاھتری افزایش می‌باشد [۲، ۵]. همان طور که تغییرات در صد تبدیل با زمان پلیمر شدن در شکل ۱ نشان می‌دهد، در 60°C زمان واکنش $2/5$ برابر کست از این زمان در 5°C است، واکنشهای رادیکالی مونومر و پیپل استات در پلیمر شدن در محلول در طرح ۱ نشان داده شده است.

در پلیمر شدن در محلول و پیپل استات، غلاوه بر مرحله پیشرفت (مرحله ۱)، واکنشهای انتقال به مونومر، پلیمر و کوپلیمر شدن بر سایه در نظر گرفته شود تا بتوان تشکیل شاخه و زل را در پلیمر از سطح سبیتیکی مشخص ساخت [۳] آزمایشها انجام گرفته در این پژوهش نشان می‌دهد که هیچ یک از نمونه‌های پلی‌وپیپل استات جدا شده در مراحل مختلف واکنش پلیمر شدن دارای پیوندهای دوگانه نیست و در ناحیه 164 cm^{-1} هیچ گونه جذبی در طیف IR مشاهده نمی‌شود. بنابراین، واکنشهای رادیکالی مربوط به پیوندهای دوگانه، یعنی تشکیل شاخه‌های بلند از طریق واکنشهای ۴ و ۶، در این پلیمر شدن دارای پلیمر شدن کم است.

بحث

مدل‌سازی و طراحی تحریبی پلیمر شدن و پیپل استات

مدل‌سازی پلیمر شدن و پیپل استات و هیدرولیز آن به پلی‌وپیپل الکل با بکارگیری روش‌های طراحی تحریبی و با استفاده از کدگذاری به صورت خطی قبلاً گزارش شده است [۵] در اینجا نتایج پلیمر شدن و پیپل استات در متابول در دماهای 5°C و 60°C با کمک معادلات درجه سه غیرخطی محاسبه شده است. در این محاسبات از روش ماتریس، که صورت کلی آن قبلاً گزارش شده است، به صورت غیرخطی با پارامترهای X و X' و Y و Y' استفاده می‌شود. در صد تبدیل پلیمر (%) در دماهای 5°C و 60°C بر حسب زمان ۱ در معادلات ۲ و ۴ نشان داده شده است:

$$\begin{aligned} X &= 0.0208441e^{0.0223962t} - 0.0268268, \quad (2) \\ &= 0.034887881e^{0.0208441t} \end{aligned}$$

$$\begin{aligned} X &= 0.0222941e^{0.028621t} + 0.0222941, \quad (4) \\ &= 0.0471151e^{0.028621t} \end{aligned}$$

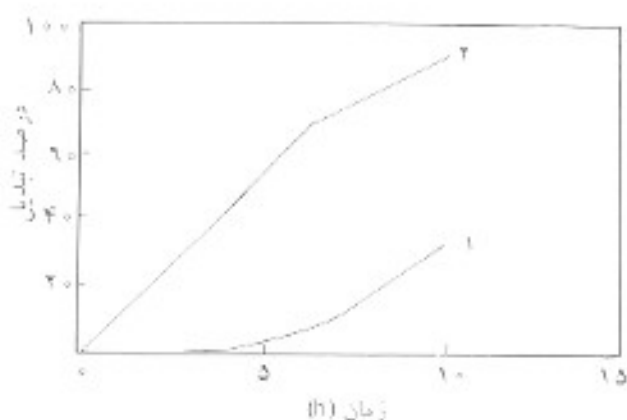
جدول ۲ - میزان تبدیل پلی‌وپی‌ستات در دمای 60°C در تهیه PVA

ردیف آرایش	زمان واکنش	حجم پلیمر تولیدی (%)	در صد تبدیل (%)
۱	۴۲/۷۱	۴۸/۶۲	۴
۲	۶۵/۴۷	۴۲/۸۶	۶
۳	۷۸/۲۰	۵۲/۳۹	۸
۴	۸۹/۲۱	۵۹/۸۴	۱۰

ساختار زپلی‌پلیمر استفاده شده است. حللهای مصرفی نیز $\text{DMSO}-d_6$ و CDCl_3 است.

نتایج

نتایج حاصل از پلیمر شدن در محلول و پیپل استات در متابول با استفاده از کالاپلیور پستروئل پروکید در دماهای 5°C و 60°C به صورت در صد تبدیل و زمان در جدولهای شماره ۱ و ۲ نشان داده شده است. جنابجه فلاغر از شکل ۱ نشان داده شده است، علفت متابول در پلیمر شدن در محلول و پیپل استات به علت تشکیل استالدید و واکنش انتقال ورن مولکولی پلیمر را کاهش می‌دهد [۵]. در این آزمایشها دمای واکنش بین با توجه به دمای تحریب مونومر و حللا به منظور تأثیر نگاه داشتن علفت مونومر و حللا در 5°C و 60°C تنظیم شده است. اثر دمای در این پلیمر شدن بسیجی به تشکیل آلدید، استری شدن با مونومر و واکنشهای انتقال و علفت مولز آغازگر و نوع حللا دارد. ولی، از آنجاکه سرعت واکنش بع علفت آغازگر با به عبارتی [۱۷] است و با افزایش آن سرعت پلیمر شدن افزایش می‌باشد. معمولاً با افزایش خلاصت رادیکالهای آزاد

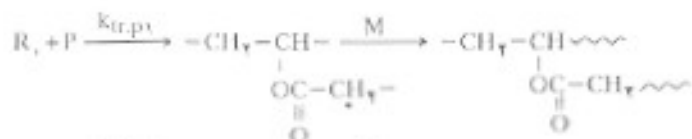


شکل ۱ - در صد تبدیل پلی‌وپی‌ستات بر حسب زمان در $(1) 5^{\circ}\text{C}$ و $(2) 60^{\circ}\text{C}$

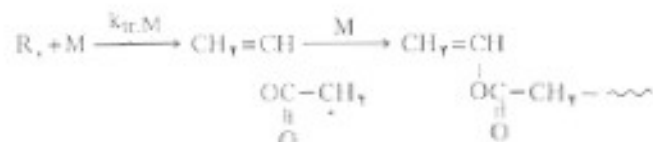
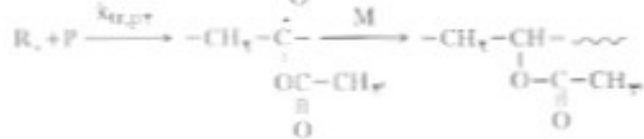
۱ - مرحله پیشرفت پلیر شدن



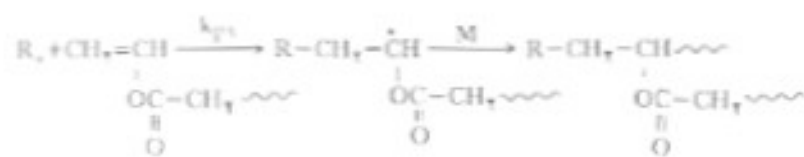
۲ - انتقال به زنجیر



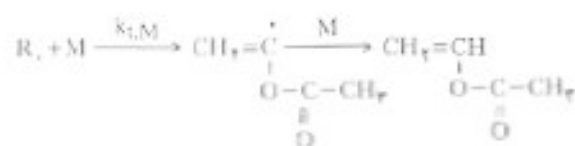
- 7 -



۵- کوئی نہ شدن از طبقہ ہے جو تد دو گاہ



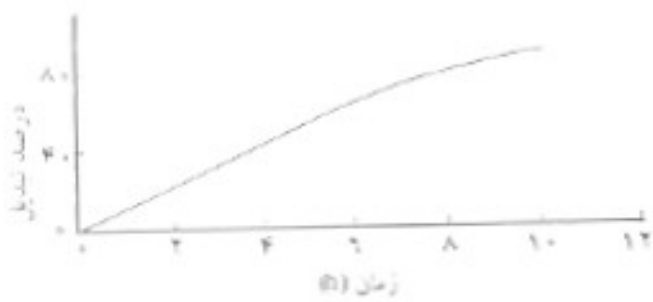
مکالمہ میرزا



۷۰ کوئی سر شد

طرح ۱- واکنشهای رادیکالی پلیمر شدن در محلول و بیتل استات،
نتایج محاسبات حاصل از این معادلات با نتایج تجزیی هموار
نموده اند. شکل ۲ مدل‌سازی درصد تبدیل (وزنی) و بیتل استات
از زمان راه‌اندازی $t = 0$ تا زمان می‌دهد اختلاف نتایج محاسبات
با نتایج آزمایشگاهی از این واکنش در حدود ۳ تا ۴٪ دارد.

در صد هیدروکسی و بینل استات با استفاده از ^1H NMR
محیطیات اتحام گرفته توسط مؤلف و محققان دیگر شان می دهد که با
فرآیند غلت کاتالیزور درجه پلیر شدن و گجراتروی پلیر کاهش
می باشد و قی میزان تغییر غریب یک بستگی به نوع حللا دارد [۶۷].
گرچه گردد OH حاصل از هیدروکسی بینل استات دارای یک



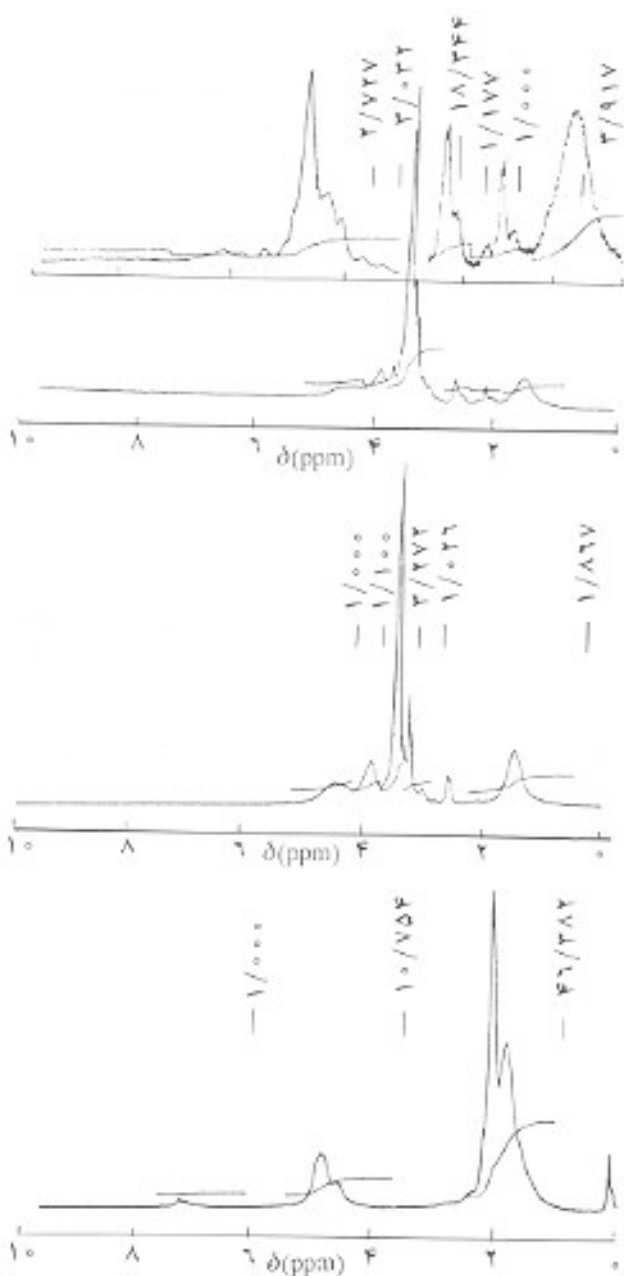
شکل ۲- مدل‌سازی درصد تبدیل زمان PVA در دمای واکنش C

سال چهاردهم، شماره دویم، نیمر ۱۳۸۰

جدول ۵- نتایج محاسباتی ^1H NMR آماری مربوط به مدل‌سازی ریخاخنار پلمر.

P _B	P _A	m	n	Mn	h	نوعه
٠/٠٥٢٣	٠/١٤٧٩	٣	١-	٦٤٥١٨٩	٨/٧	PVAc _(II)

در صدهای کم هیدرولیز دارای دقت مناسبی نیست و این مسئله از نظر صنعتی بروزه از نظر تعین درجه هیدرولیز مهم است. از طرفی، تعیین



شکل ۲- طیف ^1H NMR پلی و بیتل استات و تغییرات ساختاری آن در اثر هیدرولیز در زمانهای (۱) ۰ (۲) و (۳) ۱ ساعت واکنش در DMSO-d_6

جدول ۳- اختلاف نتایج آزمایشگاهی (۱) مدل‌سازی پلیر شدن و بیتل سنتات در دمای ۲۰°C

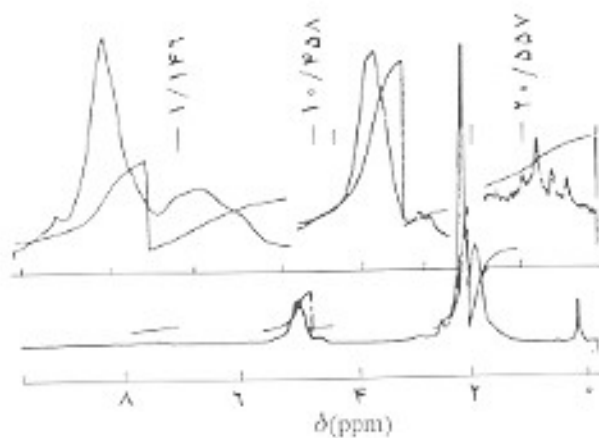
r_1	\hat{y}_1^*	y_1	x_1
0/0.8977	-0/-0.8977	0	0
-0/0.8	0.8/0.8	0.8/0.8	0.8
1/0.79	0.79/0.79	0.79/0.79	0.79
-1/0.79	0.79/-0.79	0.79/-0.79	-0.79

⁴ مقدار بدلیاری شده وزامت.

سبار کم (۶-۴%) جذب قابل ملاحظه‌ای مشاهده نمی‌شود. در اینجا از روش تیتراسیون و رزونانس مغناطیسی هسته پروتون تیز استفاده شده است تا درصد هیدرولیز پلی‌وینیل استات اندازه‌گیری و محاسبه گردد. طیف IR پلی‌وینیل استات دارای جذبهای اصلی cm^{-1} ۱۷۴۰ (گروه CO استات)، cm^{-1} ۱۶۳۱ (گروه CH_2) و cm^{-1} ۱۰۲۰ (گروه CO) است [۵,۶]. با وجود تغییرات‌های موجود که در شرایط یاد شده این پلیمر را بدون درصد هیدرولیز فرض کردند [۲]، چند درصد از پلیمر ممکن است وارد مرحله هیدرولیز شود، برای این منظور دو نمونه از پلی‌وینیل استات از واکنش پلیمرشدن در محلول در دمای 60°C بررسی شده است که درصد OH هر یک با استفاده از روش تیتراسیون و رزونانس مغناطیسی هسته پروتون اندازه‌گیری و محاسبه شده است. این نتایج همراه با تغییراتی دو نمونه از پلی‌وینیل استات در جدولهای ۴ و ۵ نشان داده شده است. با برآورد، از آنجاکه جزو بسیار کمی از پلی‌وینیل استات هنگام پلیمرشدن هیدرولیز می‌شود، درصد هیدرولیز این پلیمر در شرایط بازی ادامه می‌یابد. با انتخاب نمونه‌های دیگر، این تغییرات در ساختار پلیمر را می‌توان بر حسب زمان بررسی کرد و همین طور همپوشانی بین پیکهای مونومر اصلی پلی‌وینیل استات با نوع هیدرولیز شده آن را تدقیک کرده و بدین ترتیب در محاسبات آماری ساختار پلیمر بکار گرفت. نتایج حاصل از تغییرات ساختاری پلیمر، پس از ازحداکثر نمونه‌ها، بر حسب زمان هیدرولیز با استفاده از ^{1}H NMR در حلول مصرفی DMSO- d_6 در شکل ۲ نشان داده شده است [۸,۹]. با توجه به مطالعات انجام گرفته این اولین بار است که درصد هیدرولیز پلی‌وینیل استات با استفاده از پیکهای جذبی در این نوع پلیمرشدن محاسبه می‌گردد. اصولاً روش‌های تیتراسیون پلیمرها در

جدول ۴- نتایج تجربی حاصل از درصد تبدیل، وزن مولکولی و درصد هیدرولیز مل موشل استات.

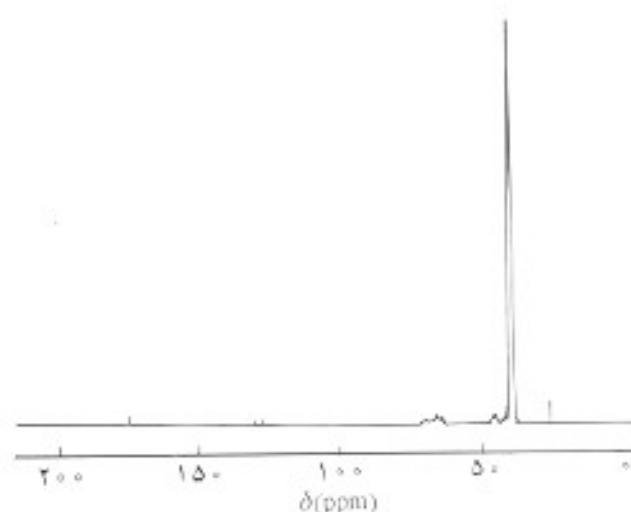
\bar{M}_n	η	[η]	η_{sol}
V	TDT-...	7.5×10^{-3}	0.55
η/F	TTD-...	8.8×10^{-3}	0.47



شکل ۶- طف ^1H NMR پلی وینیل استات لئونه PVAc

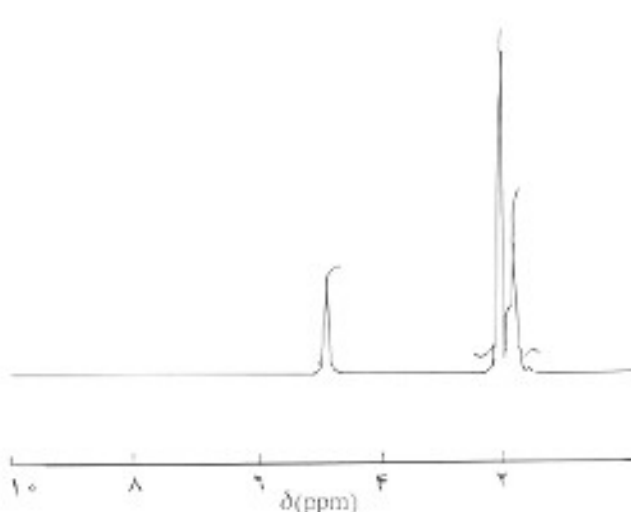
استفاده از CDCl_3 بررسی و در شکل ۵ نشان داده شده است. یک‌های اصلی به ترتیب مربوط CH_2 -، CH_3 -، CH_4 -، CH_2CH_3 -، $\text{CH}_2=\text{CH}_2$ - و $\text{CH}_2=\text{CH}_3$ - در ناحیه ۱/۷۸-۷۱ ppm، در ناحیه ۱/۹۹-۹۸ ppm، در ناحیه ۱/۱۲۱-۱۳۶ ppm، در ناحیه ۲/۸۶-۸۷ ppm، در ناحیه ۲/۱۲۸-۱۴۶ ppm، در ناحیه ۴/۸۹-۹۰ ppm و CH_3 - در ناحیه ۴/۶ ppm ایجاد شده است. در ناحیه ۴-۶ ppm بذریع کاسته می‌شود، در حالی که به شدت جذب یک OH - مربوط به جزء وینیل الکل ($\text{A}/8\text{ppm}$) اضافه می‌گردد. نتایج این، در صد هیدرولیز پلی وینیل استات را می‌توان از نسبت شدت یک‌های وینیل الکل به استات، پیش‌تر که در صد هیدرولیز پلی وینیل استات زیاد نباشد، با استفاده از طیف $^1\text{H NMR}$ پلی وینیل استات (PVAc II) که در شکل‌های ۶ و ۷ نشان داده شده است مستقیماً محاسبه کرده و بدین ترتیب مقدار $m=1$ و $n=1$ را بدست آورد و مقدار H_2O را با معادله ۴ محاسبه کرد.

از آنچه که ترتیب قرار مخترع می‌شود در پایه استنگی به

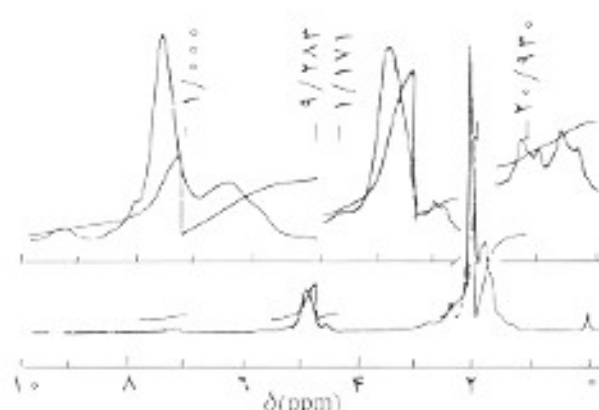


شکل ۴- طیف ^{13}C NMR پلی وینیل استات در حلول CDCl_3 .

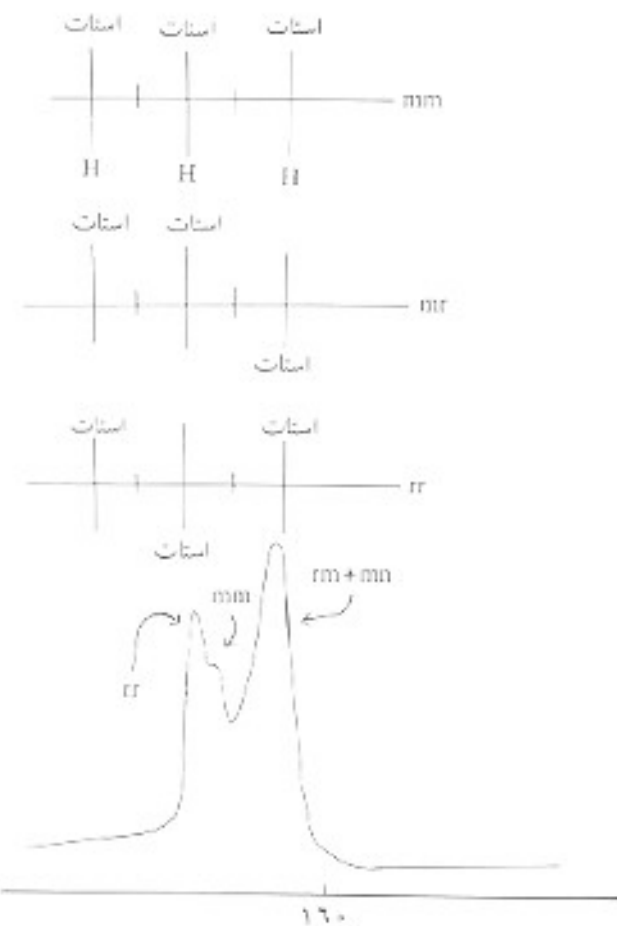
در صد هیدروژن پلیمر با استفاده از ^1H NMR به علت مسائل مربوط به حلالهای D_2O و DMSO-d_6 و تشکیل پستوندهای هیدروژنی با گروههای OH ، O-C(Me)O ، مشکلات فراوانی را در بر می و تفکیک پیکهای اصلی دارای همپوشانی، تغیر مکان و باز شدن بیش از حد آنها در این کوپلمرها بوجود آورده است.



شکل ۵. طیف ^1H NMR (۵۰ MHz) پلی وینیل استات در حلول CDCl₃.



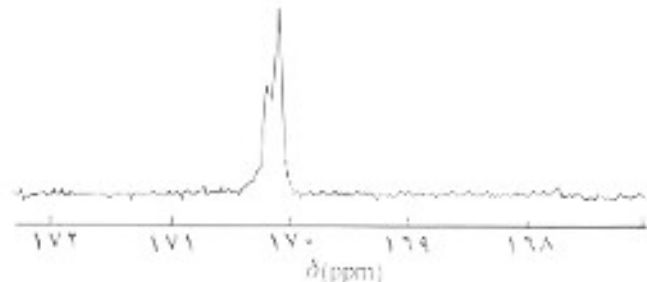
شکل‌های ۷- طیف ^1H NMR



شکل ۹- روز ساختاری پل و پنل استات.

د. ساختا، پلر، و بیتلز، استیت

ریز ساختار دقیقتر پلی و بینل استات را می توان با استفاده از طیف ^{13}C NMR و H NMR مشخص ساخت. از آنجاکه ریز ساختار پلی و بینل استات با نوچه به گروه CO بررسی شده است و گروه $=\text{O}$ استات این پلیمر حسابت و بیزهای به ترکیب ساختار زنجیر پلیمر و پلیکریستال آن دارد (۸). با استفاده از جذب این گروه در تابعی $170 / 106$ و $170 / 208 \text{ ppm}$ (شکل ۱۸) و محاسبه فاصله بین پیکهای جذب با $110-2 \text{ ppm}$ = ۱ و مقایسه آن با نتایج پژوهشگران دیگر معادل 110 ppm = ۱ محاسبات آماری برتوانی را می توان از واحد های تک آرایش (m) و هم آرایش (l) یعنی با $m + m$ و mm در شکل ۸ نوشت (۸). ریز ساختار پلیمر مطابق با یک پلیکت پایز شده $=\text{O}$ در شکل ۸ نشان داده شده است. با توجه به مکانیسم پلیمر شدن و درصد کم L ، (طیفهای H NMR در شکل های ۵ و ۶) ساختار مولکولی پلیمر مشابه با تحلیل پژوهشگران دیگر به صورت زیر مشخص و در شکل ۹ نشان داده شده است.



شکل ۸- یک بازنشده CO از طبق ^{13}C NMR پلی وینیل استات در CDCl_3 حل.

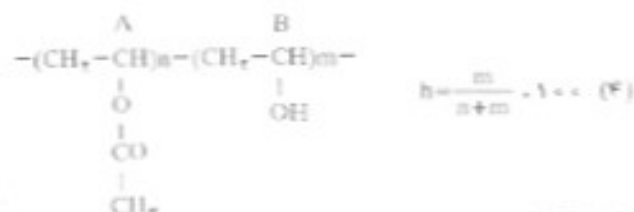
واکنشهای پیشافت، انتقال به پلیر، به مونومر یا کوپلیر شدن دارد، ساختار پلی و پلی استات ساتوجه به نوع کربن با استفاده از روش رزونانس مغناطیسی هست ^{13}C . مشخص شده است، در این روش، با واندگی (decoupling) آسین، $^{13}\text{C}-\text{H}$ به صورت تک خط جاذبی مشاهده شده، به طوری که ساختار دیفتر پلیر مشخص می‌گردد [11].
 شکل ۴ طیف ^{13}C -NMR پلی و پلی استات تهیه شده در دمای 60°C در حلحلان CDCl_3 را نشان می‌دهد. از آنجاکه این طیف صرفاً کربن نوع CH_2 را در ناحیه ۲۰-۲۵ ppm و کربن CH_3 را در ناحیه ۲۹-۳۱ ppm و کربن CO را در ناحیه ۱۷-۱۸ ppm نشان دهد، جزو اصلی ساختار پلیر از واحد اصلی و پلی استات (A) تشکیل شده است. از آنجاکه حدبهای دیگر دارای شدت کمتری است، واحد ساختاری مهم دیگر این پیش از نوع CO الکلی است. ناجه $\text{C}=\text{O}$ چند کربن CO نیز همراه با کربن CO از نوی ۲۰.۸ / ۲۰.۰ و ۱۷.۰ / ۱۶.۰ ppm مشاهده شود. نامان و اکشنای عمدۀ پلمر شدن از نوی ۱۶ و ۲ است.

نمودسازی ساختار پلی و بیتل استات و وزن مولکولی پلی و بیتل استات
حال با توجه به ساختار کربن پلیمر و تشکیل سرکر نامفتارن Cxy در
پلیمر، موسمور و پنهانی به صورتی به زنجیر پلیمر اضافه می شود که اجرای
و زیبایی (diyal) ساختاری آن از نوع $\text{z}_1 \text{y}_1 \text{x}_1 \text{m}_1$ باشد. ترتیب احتمالی اجرای
و زیبایی AA و BB را می توان با مدل آماری برونولی با استفاده از
تابع H^{13}C NMR H^{17}C NMR^{۱۷} یعنی $m = n = 1$ و $m = n = 0$ محاسبه کرد. جنابه این
کوپلیمر به صورت اتفاقی یا نامنظم مدلسازی گزدد. احتمال اضافه شدن
هر موسمور از سر به دم یا از سر به سر معادل $P_A = ۰.۳۴۷$ و $P_B = ۰.۵۲۶$
 $P_B = ۰.۰۵۲$ محاسبه می شود که مطابق با ساختار دقیق این پلیمر
است (جذرا، ۱۸).

جدول ۵ نتایج حاصل از این محاسبات را در موره دو نمونه از پلی ویپل استات که از پلیمرشدن ویپل استات در 60°C بدست آمده است نشان می دهد.

مراجع

1. DeZea Bermudez V., Passos de Almeida P. and Soita J. F.; *J. Chem. Ed.*; **75**, 1410, 1998.
2. Potnis S. P. and Deshpande A. M.; *Die Macromolecules Chemie*; **125**, 48-58, 1969.
3. Norizuka S. I., Morishima Y. and Murahashi S.; *J. Polym. Sci.*; **10**, 2853, 1972.
4. Moustafa A. B., Abdel-halim A. A., Sayyah S. M., and Mohamed G. A.; *J. Appl. Polym. Sci.*; **66**, 711, 1997.
5. Semsaeeh M. A., Karimi A. and Eshtad M.; *Int. Poly. J.*; **6**, 261, 1997.
6. Karimi A., Semsaeeh M. A. and Eshtad M.; *Faznameh*; **29**, 1998.
7. Karimi A., Semsaeeh M. A. and Eshtad M.; *8th Conference of Iranian Gas, Oil, Petrochemicals*, Tehran, Iran, 1376.
8. Bhar A. S., Charan S.; *Polymer*; **37**, 327, 2451, 1996.
9. Ibelli R. N.; *NMR Spectroscopy of Polymers*; Blackie, Academic & Professionals, 1993.
10. Gimenez V., Martecon A., Rodna J. C., Cadiz V.; *J. Appl. Polym. Science*; **64**, 1643, 1997.
11. Wersti F. W. & Wirthlin T.; *Pretation of Carbon-13NMR Spectra*; John Wiley & Sons, 1983.



نتیجه گیری

در این پژوهش، پلیمر شدن در محلول و بینیل استات در درصد های هیدروکسی کم با استفاده از مدل آماری بر تولی مدلسازی شده است. ساختار مولکولی پلی و بینیل استات نیز با استفاده از نتایج گرانزوی و تیزتراسیون محاسبه و از روش رزونانس مغناطیسی هسته یپروتون (¹H NMR) و ¹³C NMR) نیز استفاده شده است تا تعداد واحدهای n و m محاسبه شود. با استفاده از نوع گرن رزونانس مولکولی پلیمر با استفاده از تعداد واحدهای وزنی الکل و بینیل استات به آسانی قابل محاسبه است. اثر دما و حلال پلیمر شدن با استفاده از این روش و از راه دورسی ساختار و وزن مولکولی آن مشخص شده است که نتایج قابل مولف و پژوهشگران دیگر قابل مطابقه است و از دقت ماسی برخوردار است.

قدرتانی

آزمایش های ¹³C NMR و ¹H این طرح از طریق طرح ملی تحقیقاتی شماره ۹۶۱ و با حمایت شورای پژوهش های علمی کشور انجام یافته است که مذین وسیله قدردانی می شود.